

一次元アーキテクチャにおける 量子ビット割り当て問題

東京大学大学院 情報理工学系研究科 修士1年

内藤 壮俊

🐦: @hamburg_soshun

自己紹介

▶ 所属

- ▶ 東京大学大学院 情報理工学系研究科 電子情報学専攻 長谷川研究室 修士1年
- ▶ 量子アルゴリズムの研究をしています

▶ プログラミング経験

- ▶ 競技プログラミング(C++), ゲーム開発(Unity C#), ウェブ開発 (Python, JavaScript)

▶ 量子コンピューティングの経験

- ▶ ゲート型 : IBM Quantum Challenge 2020に参加. Qiskit使用経験あり
- ▶ アニール型 : Amplifyハッカソンがきっかけで興味を持った

参加したきっかけ

- ▶ 量子アニーリングを使って、量子ゲートの回路設計を支援できないか？
 - ▶ コラボって感じがしてカッコいい
- ▶ 現存するゲート型量子コンピュータは数十ビットの規模なので、扱う問題の大きさとしてちょうど良い...？
 - ▶ アニーリングが先行している分だけ、アドバンテージが活かせそう

背景説明

量子ゲート型計算機

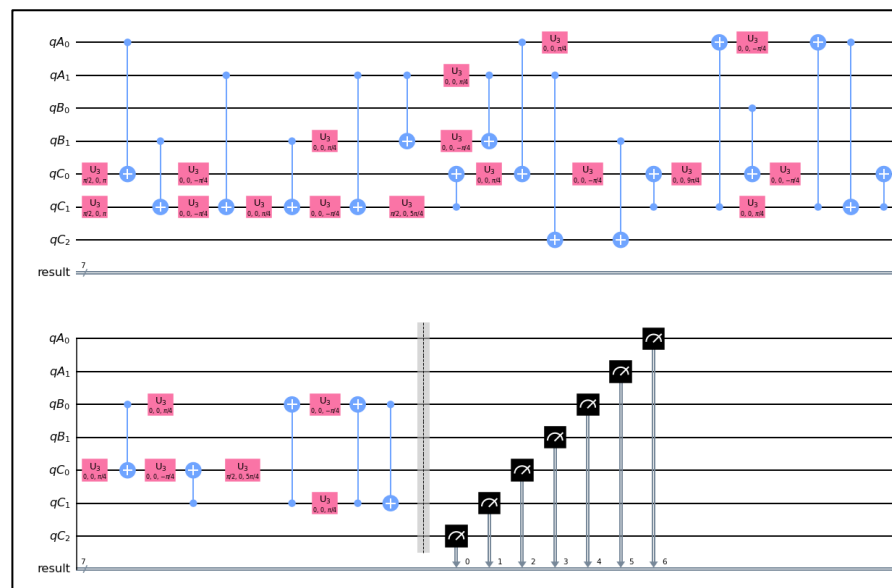
- ▶ ゲート通過による状態変化 → 測定 により計算を行う
 - ▶ 量子ビットは左から右に流れていき, 通ったゲートにより変換が加えられる
 - ▶ 量子ビットは複数の状態を重ね合わせることが可能

- ▶ 任意の量子回路は**U3ゲート**(1入力)と**CXゲート**(2入力)に展開可能
 - ▶ U3ゲート : 1ビットの状態を任意に操作
 - ▶ CXゲート : 2ビット間でXOR演算を行う
 - ▶ $(x, y) \rightarrow (x, x \oplus y)$

- ▶ $0 \oplus 0 = 1 \oplus 1 = 0$

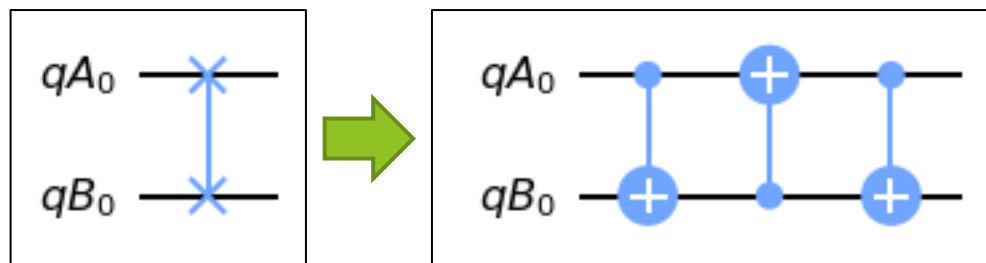
- ▶ $0 \oplus 1 = 1 \oplus 0 = 1$

図 : U3ゲートとCXゲートで構成された量子回路。

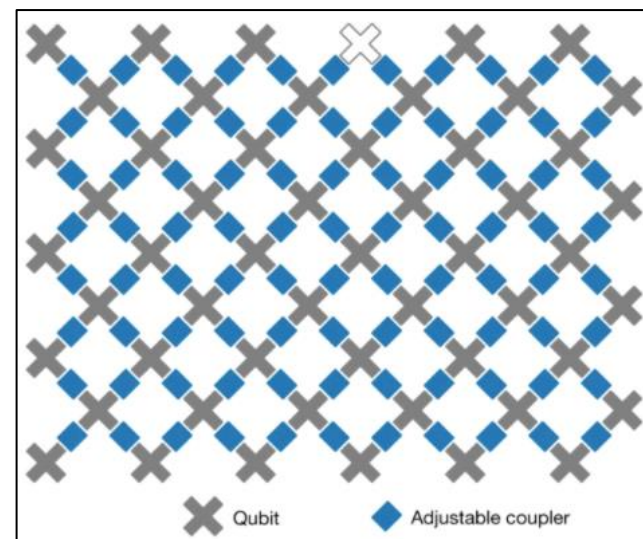


量子ビット割り当て問題

- ▶ 設計図上の「論理ビット」とデバイス上の「物理ビット」を対応させる問題
- ▶ CXゲートを作用させる物理ビットは隣り合っている必要がある
 - ▶ 離れている場合は? → SWAPゲートを使って物理ビットの中身を交換
- ▶ NISQデバイスでは、ゲート操作によるエラーが重要
 - ▶ SWAPゲートはCXゲート3つ分
 - ▶ エラー率は $U3$ ゲート \ll CXゲート \ll SWAPゲート



図：SWAPゲートの構成.



図：物理ビットの配置の例.

先行研究(古典的アプローチ)

- ▶ “Optimal SWAP Gate Insertion for Nearest Neighbor Quantum Circuits” (2014) ^[1]
Robert Wille, Aaron Lye, and Rolf Drechsler
 - ▶ 1次元アーキテクチャ向けにSWAPゲートの個数を定式化
 - ▶ PBO (pseudo boolean optimization) ソルバーによる解法
- ▶ “Qubit Allocation for Noisy Intermediate-Scale Quantum Computers” (2018) ^[2]
Will Finigan, Michael Cubeddu, Thomas Lively, Johannes Flick, and Prineha Narang
 - ▶ エラー率を考慮しながら, 論理ビットの初期配置を1ペアずつ決定
 - ▶ Dijkstra法 + 擬似焼き鈍し法によるアプローチ

[1] R. Wille, A. Lye and R. Drechsler, “Optimal swap gate insertion for nearest neighbor quantum circuits,” In Proceedings of 19th Asia and South Pacific Design Automation Conference (ASP-DAC 2014), pp. 489- 494, 2014.
[2] <https://arxiv.org/abs/1810.08291>

先行研究(QUBOを用いたアプローチ)

▶ “A QUBO formulation for qubit allocation” (2020) [3]

Bryan Dury and Olivia Di Matteo

▶ エラー率と回路の深さを考慮して, 論理ビットの初期配置を決定する

▶ $x_{ij} = 1$: 「 i 番目の論理ビットは j 番目の物理ビットに対応する」

▶ $cost = \sum_{i,j,k,l} Q_{ijkl} \cdot x_{ij} x_{kl} + \sum_{i,j} b_{ij} \cdot x_{ij}$

▶ $Q_{ijkl} = -\ln(p_{jl}) \cdot g_{ik} \cdot d_{jl}^3$ $b_{ij} = -\ln(p_j) \cdot g_i$

CXゲートのコスト
[エラー] · [個数] · [距離]

U3ゲートのコスト
[エラー] · [個数]

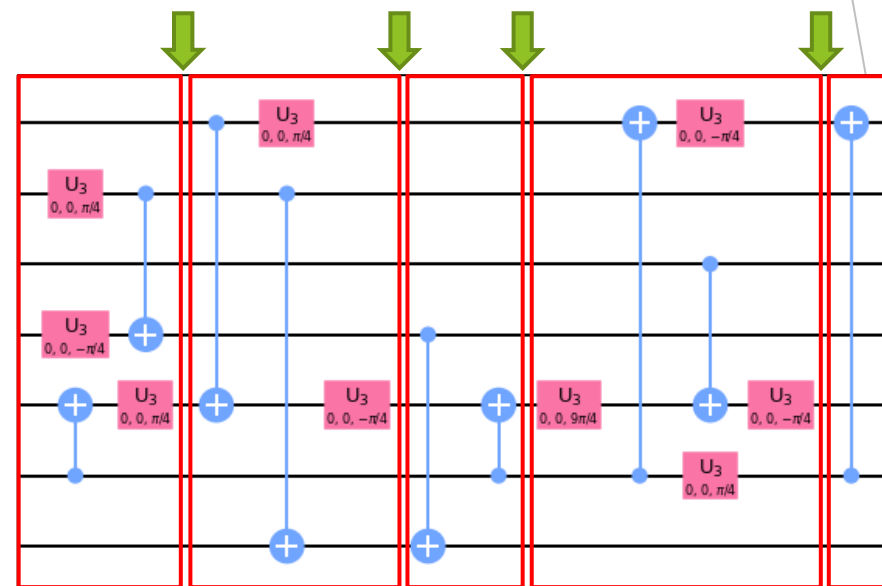
▶ ダイナミックな並び替えは考慮せず

▶ CXゲートごとに, 「2ビットが隣り合うように並び替え → 配置を戻す」の繰り返し

今回扱いたい問題

- ▶ CXゲートを含むそれぞれのレイヤーに対して、論理ビットの配置を決定する
 - ▶ 全てのレイヤーで、CXゲートの物理的制約が満たされる必要がある
 - ▶ レイヤー間に挿入するSWAPゲートの個数を減らしたい

- ▶ 1次元アーキテクチャの場合、SWAPゲートの個数は転倒数に等しい
 - ▶ 転倒数 = 「順番が入れ替わったペアの数」



図：レイヤーの構成例.

古典的解法

- ▶ 量子ビットの個数 N に対し, 各レイヤーにおける配置は $N!$ 通り
- ▶ レイヤーの枚数 M に対して, 全体の取りうる状態数は $(N!)^M$ 通り
- ▶ 動的計画法による高速化
 - ▶ 配置に対する暫定的なコストを持っておくことで,
空間計算量 $O(M \cdot N!)$, 時間計算量 $O(M \cdot (N!)^2)$ で解くことができる
- ▶ $N = 10$ で $(N!)^2 \approx 1.3 \times 10^{13}$ なので, 小規模の回路にしか適用できない.

背景説明 まとめ

- ▶ 「CXゲートは物理的に隣り合うビットにしか作用できない」という制約のもと、挿入するSWAPゲートの個数を減らしたい
- ▶ 量子回路の実機搭載において必ず直面する問題
- ▶ 量子回路全体における論理ビットの配置をQUBOで最適化する研究はまだ無い
- ▶ 古典的解法では太刀打ちできない問題に、アニーリングで挑む

提案手法

バイナリ変数を用いた定式化

- ▶ 各レイヤーにおける論理ビットは $[0, 1, \dots, N - 1]$ の並び替えとなる
- ▶ Q_{mnv} : 「レイヤー m において, 物理ビット n は論理ビット v に対応する」
 - ▶ MN^2 個のバイナリ変数が必要
- ▶ one-hot 制約
 - ▶ 「物理ビットは単一ビットのみに対応する」 : $\sum_{v=0}^{N-1} Q_{mnv} = 1$
 - ▶ 「論理ビットは単一ビットのみに対応する」 : $\sum_{n=0}^{N-1} Q_{mnv} = 1$
- ▶ CXゲートによる制約
 - ▶ 作用させる物理ビットは隣り合っていないなければならない
 - ▶ ペナルティ関数 : $\sum_{(a,b) \in [CX-gates]} \sum_{(i,j), |i-j| \geq 2} Q_{mia} Q_{mjb}$

コスト関数の定式化 (厳密解法)

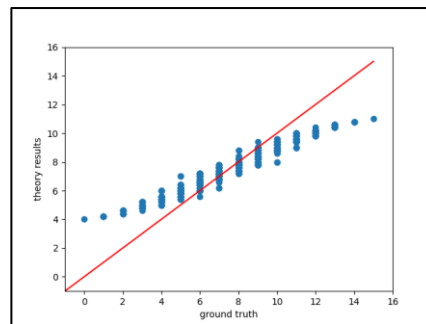
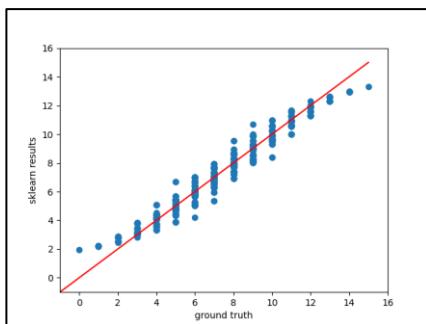
- ▶ コスト = SWAPゲートの個数 = 転倒数
 - ▶ 厳密に定式化が可能
- ▶ 隣り合うレイヤー A, B 間における, 論理ビットの移動 C を考える
 - ▶ $C_{ij} = 1 \Leftrightarrow A[i] = B[j]$
- ▶ 補助変数+制約の追加による定式化
 - ▶ $S_{ijv} = A_{iv} \cdot B_{jv} \Leftrightarrow \text{penalty} = 3S_{ijv} + A_{iv}B_{jv} - 2S_{ijv}(A_{iv} + B_{jv})$
 - ▶ $C_{ij} = \sum_v S_{ijv}$
 - ▶ $\text{cost} = \sum_{0 \leq i_1 < i_2 < N} \sum_{0 \leq j_2 < j_1 < N} C_{i_1 j_1} \cdot C_{i_2 j_2}$

厳密解法の実行結果

- ▶ 出力結果のコストが大きすぎる or 解が見つからないという結果に. . .
- ▶ 探索空間の大きさに対して, 制約を満たす組が少ないことが原因か
 - ▶ 用いたバイナリ変数の合計 = $\log_2(\text{探索空間の状態数}) = MN^3 + 2MN^2 - N^3 - N^2$
 - ▶ $\log_2(\text{解となる状態数}) < \log_2(N!)^M \approx \frac{1}{\log 2} M(N \log N - N)$
- ▶ ほとんど全てが「ハズレ」だった

転倒数の近似によるアプローチ

- ▶ 性能向上のため、近似解法を採用して状態数を削減することに
 - ▶ 最初に用意したバイナリ変数だけを使って、転倒数を2次で近似する
- ▶ 重回帰分析によるフィッティング，期待値による推定を行った



図：重回帰分析，期待値による転倒数の推定結果。
横軸が正しい値，縦軸が推定値。

- ▶ 2つの推定結果は，互いに一次関数の関係になっていた
 - ▶
$$[\text{重回帰分析による推定結果}] = \frac{2N-2}{N} [\text{期待値による推定結果}] - \frac{(N-1)(N-2)}{4}$$

コスト関数の定式化 (近似解法)

- ▶ 期待値による推定結果 $\approx \left\{ \sum_{0 \leq i, j < N} \left(\frac{i+j}{2} - \frac{ij}{N-1} \right) \cdot C_{ij} \right\}$
- ▶ 重回帰分析による推定結果へ変換: $y = \frac{2N-2}{N} x - \frac{(N-1)(N-2)}{4}$
- ▶ \rightarrow 転倒数 $\approx \frac{2N-2}{N} \left\{ \sum_{0 \leq i, j < N} \left(\frac{i+j}{2} - \frac{ij}{N-1} \right) \left(\sum_{v=0}^{N-1} A_{iv} B_{jv} \right) \right\} - \frac{(N-1)(N-2)}{4}$ と書ける
 - ▶ レイヤー $m, m+1$ 間においては, $A_{iv} = Q_{miv}, B_{jv} = Q_{(m+1)jv}$
- ▶ 代入すると, 以下のように整理できる
 - ▶ $\sum_{m=0}^{M-2} \left\{ \sum_{0 \leq i, j < N} \frac{(N-1)(i+j)-2ij}{N} \left(\sum_{v=0}^{N-1} Q_{miv} Q_{(m+1)jv} \right) \right\} - (M-1) \frac{(N-1)(N-2)}{4}$

この部分を最小化したい.

定数項.
最小化においては無視される.

Amplify解法モデルの構成

- ▶ $cost = \sum_{m=0}^{M-2} \left\{ \sum_{0 \leq i, j < N} \frac{(N-1)(i+j)-2ij}{N} \left(\sum_{v=0}^{N-1} Q_{miv} Q_{(m+1)jv} \right) \right\}$
- ▶ $constraint = \sum_{m=0}^{M-1} \left\{ \underbrace{\sum_{v=0}^{N-1} (1 - \sum_{n=0}^{N-1} Q_{mnv})^2}_{\text{one-hot 制約}} + \underbrace{\sum_{(a,b) \in [CX-gates]} \sum_{(i,j), |i-j| \geq 2} Q_{mia} Q_{mjb}}_{\text{CXゲートによる制約}} \right\}$
- ▶ $model = constraint \times \lambda + cost$ として構成した
 - ▶ $model$ の項数(= モデルの規模)は $O(MN^3)$ 個

パフォーマンスの評価 (コスト最小化の性能比較)

- ▶ ランダムに生成したデータ10個に対してコストを計算した
 - ▶ 古典的解法は最適解を出力するので, 必ず 古典的解法 \leq Amplify解法 となる
 - ▶ Amplify解法においては, $\lambda = 100$, *timeout* = 1秒 として実行
- ▶ N , M の大きいケースで誤差が大きくなった
 - ▶ 制約の重み λ を小さくする + *timeout* を伸ばすことでコスト抑制が可能

| N | 3 | 4 | 5 | 6 |
|------------------------|-----|------|------|------|
| 古典的解法 ($M = 5$) | 0.6 | 1.4 | 2.1 | 4.1 |
| Amplify解法 ($M = 5$) | 0.6 | 1.4 | 2.1 | 4.5 |
| 古典的解法 ($M = 20$) | 3.8 | 13.0 | 15.0 | 24.9 |
| Amplify解法 ($M = 20$) | 3.8 | 13.1 | 18.9 | 34.0 |

表：それぞれの解法における
コストの平均値.

パフォーマンスの評価 (実行時間の比較)

- ▶ $M = 5$ にて, N を動かした時の実行時間(秒)を比較した

| N | 3 | 4 | 5 | 6 | 7 | 8 | 9 | 10 | 15 | 20 |
|-----------|--------|--------|--------|--------|--------|--------|--------|--------|--------|--------|
| 古典的解法 | 0.0007 | 0.0084 | 0.4551 | 8.9532 | 566.95 | — | — | — | — | — |
| Amplify解法 | 1.8336 | 1.8184 | 1.4685 | 1.1751 | 1.2766 | 1.3620 | 1.3654 | 1.6483 | 6.1014 | 20.047 |

表 : N を動かした時の実行時間の比較.
 $6 \leq N$ においてAmplify解法の方が高速となっている.

- ▶ Amplify解法の実行時間は $O(MN^3)$
 - ▶ モデルの構築がボトルネックになっていた
- ▶ 古典的解法は $O(M \cdot (N!)^2)$ なので, 飛躍的向上と言える
 - ▶ $N = 10$ のとき, $(10!)^2 \div 10^3 \approx 132$ 億倍の高速化!?

提案手法 まとめ

- ▶ 厳密解法は使い物にならなかったため、近似解法を採用した
- ▶ N が小さい場合は古典的解法が強く、 N が大きい場合はAmplify解法が強い

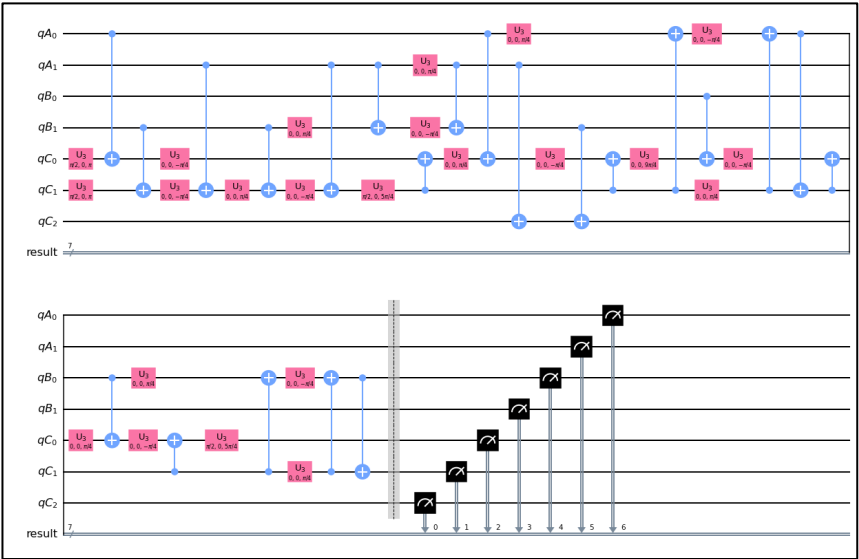
| | 古典的解法 | Amplify解法 | |
|--------|----------------------------|---------------------|-----------------------------|
| | | 厳密解法 | 近似解法 |
| 大域最適解 | 計算可能 | 計算可能 | 近似解のみ |
| 実用的な範囲 | $N \leq 6$ $M \leq 100$ | N, M ともに 小さい場合 | $N \leq 20$ $M \leq 100$ |

表：古典的解法とAmplify解法の比較。
Amplify解法の方が実用的と言える。

アプリケーションの作成

OpenQASMとの連携

- ▶ 「OpenQASM」という言語で書かれた回路を入力・出力できるようにしたい
- ▶ U3ゲートとCXゲートに展開済みの回路を用いる



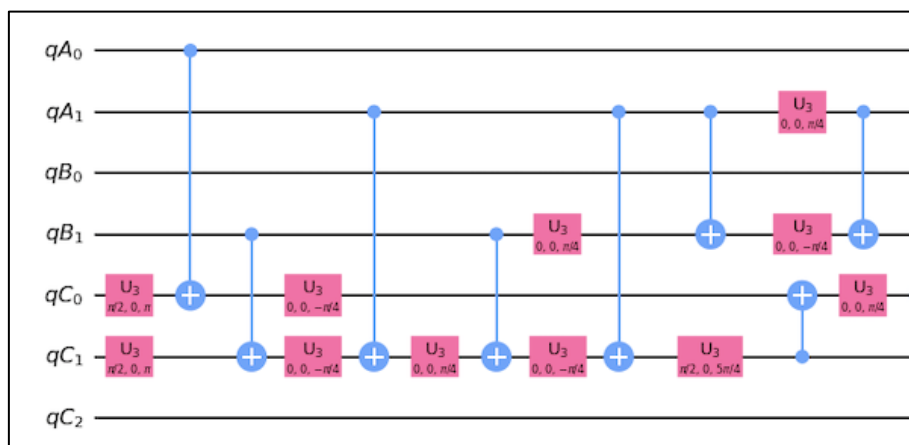
図：展開した後の回路.

| | | |
|---|--|---|
| <p>...</p> <p>u3(pi/2,0,pi) qC[0]; cx qA[0],qC[0]; u3(0,0,-pi/4) qC[0]; u3(pi/2,0,pi) qC[1]; cx qB[1],qC[1]; u3(0,0,-pi/4) qC[1]; cx qA[1],qC[1]; u3(0,0,pi/4) qC[1]; cx qB[1],qC[1]; u3(0,0,pi/4) qB[1]; u3(0,0,-pi/4) qC[1]; cx qA[1],qC[1]; cx qA[1],qB[1]; u3(0,0,pi/4) qA[1]; u3(0,0,-pi/4) qB[1];</p> | <p>cx qA[1],qB[1]; u3(pi/2,0,5*pi/4) qC[1]; cx qC[1],qC[0]; u3(0,0,pi/4) qC[0]; cx qA[0],qC[0]; u3(0,0,pi/4) qA[0]; u3(0,0,-pi/4) qC[0]; cx qC[1],qC[0]; u3(0,0,9*pi/4) qC[0]; cx qB[0],qC[0]; u3(0,0,-pi/4) qC[0]; cx qC[1],qA[0]; u3(0,0,-pi/4) qA[0]; u3(0,0,pi/4) qC[1]; cx qC[1],qA[0]; cx qA[0],qC[1];</p> | <p>cx qC[1],qC[0]; u3(0,0,pi/4) qC[0]; cx qB[0],qC[0]; u3(0,0,pi/4) qB[0]; u3(0,0,-pi/4) qC[0]; cx qC[1],qC[0]; u3(pi/2,0,5*pi/4) qC[0]; cx qC[1],qB[0]; u3(0,0,-pi/4) qB[0]; u3(0,0,pi/4) qC[1]; cx qC[1],qB[0]; cx qB[0],qC[1]; cx qA[1],qC[2]; cx qB[1],qC[2]; ...</p> |
|---|--|---|

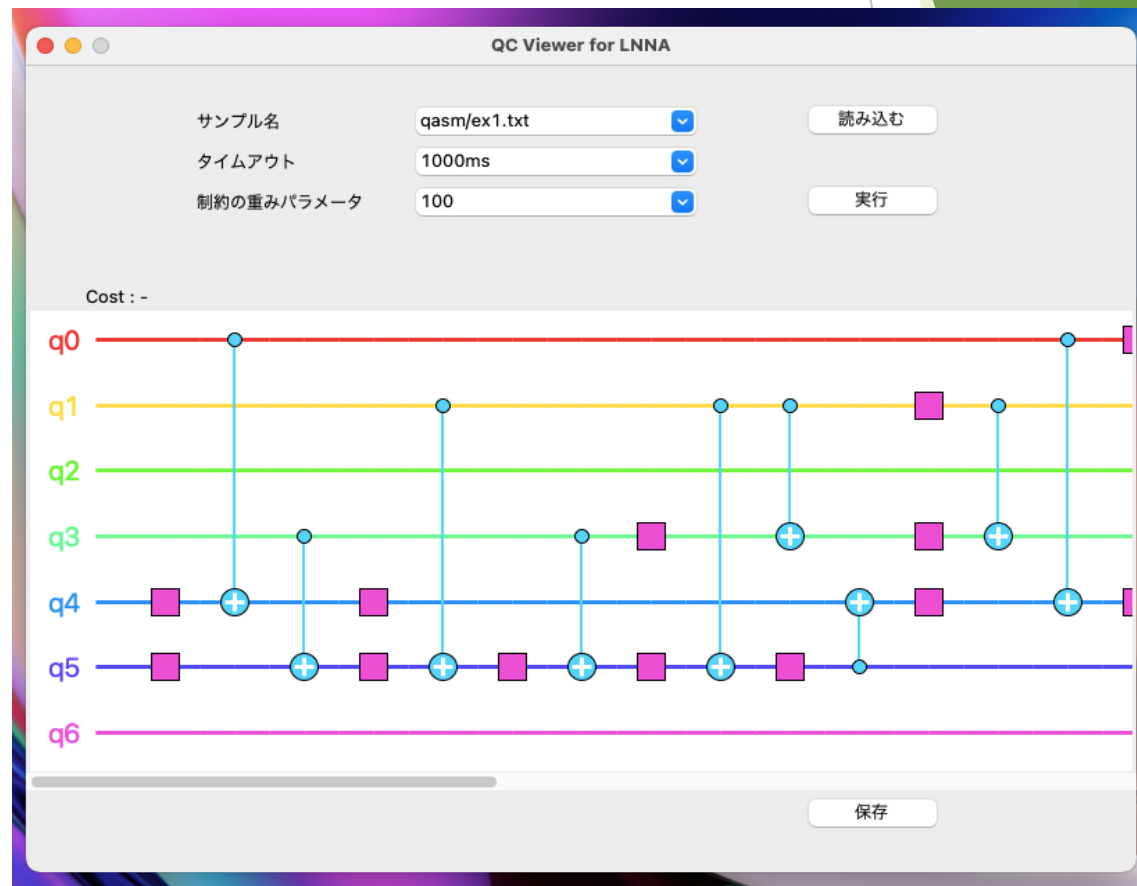
図：出力されるOpenQASMプログラム.

アプリ機能紹介：量子回路の描画

- ▶ tkinterというライブラリで実装
- ▶ 設計図段階の回路と、Amplify解法の実行結果を描画する



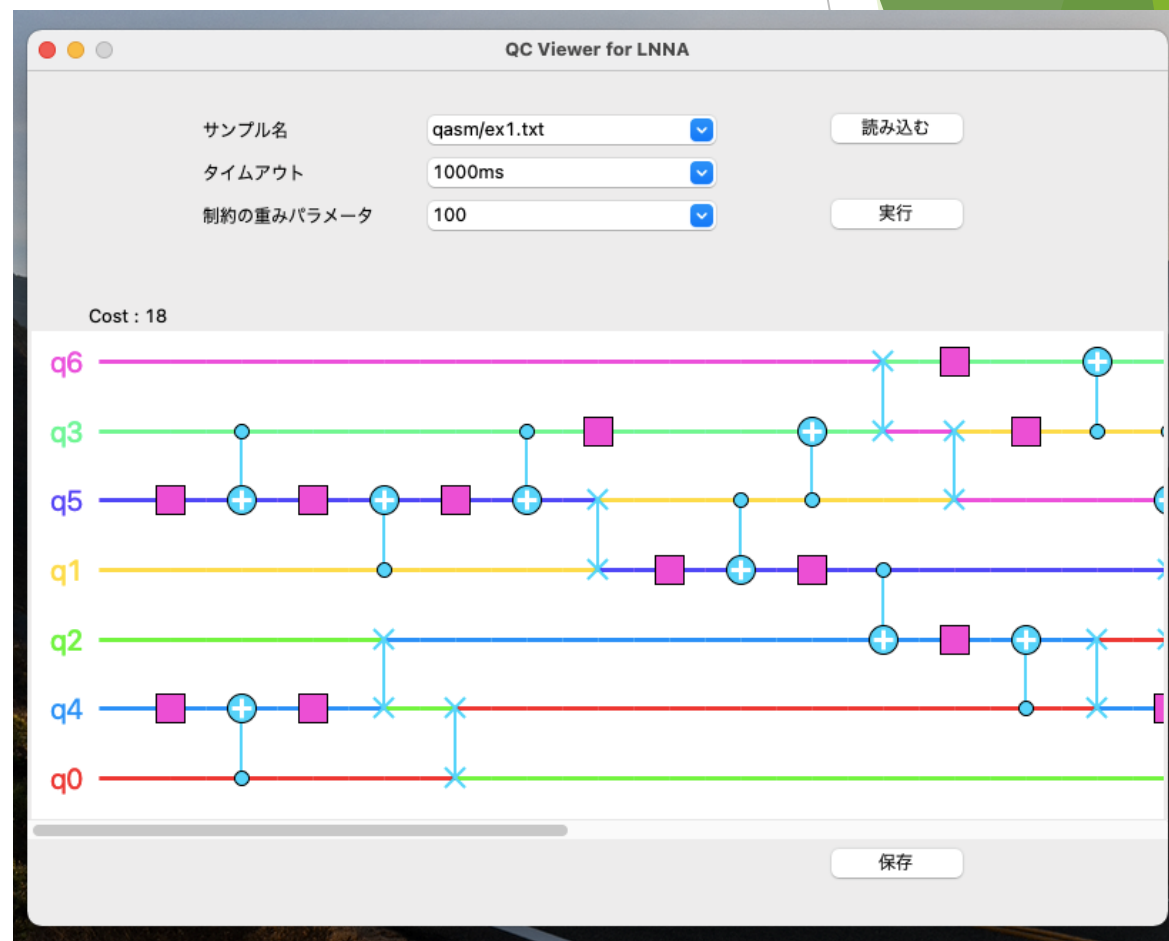
図：読み込んだ回路設計図の一部。
(IBM Q上で描画。)



図：ビジュアライザ上での描画結果。

アプリ機能紹介：Amplifyの呼び出し

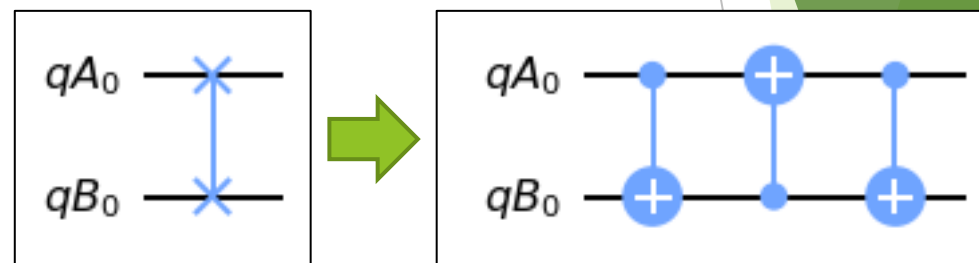
- ▶ Amplify解法を実行
 - ▶ タイムアウト (*timeout*) の調整可
 - ▶ 制約重みパラメータ (λ) の調整可
- ▶ 実行結果の描画
 - ▶ SWAPゲートは「X-X」で描画されている
- ▶ 良い解が見つかるまで調整・再試行が可能
 - ▶ 回路設計の効率化につながる



図：Amplify解法の実行結果.

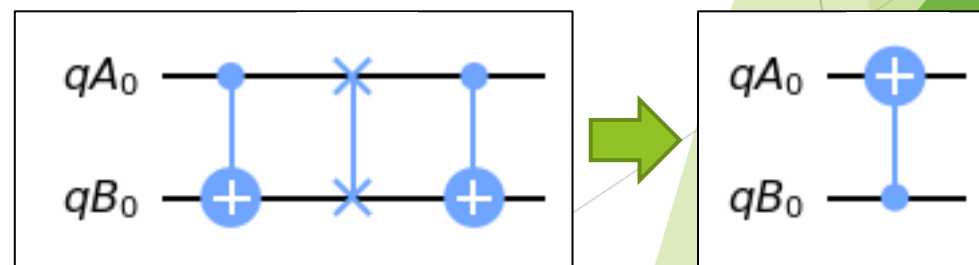
アプリ機能紹介：OpenQASM形式で出力

- ▶ SWAPゲートを3つのCXゲートに置き換えることでOpenQASM形式に書き換えることが可能
 - ▶ 設計図段階の回路を入力して，アプリで実機搭載可能な回路に変換して，その結果を出力する



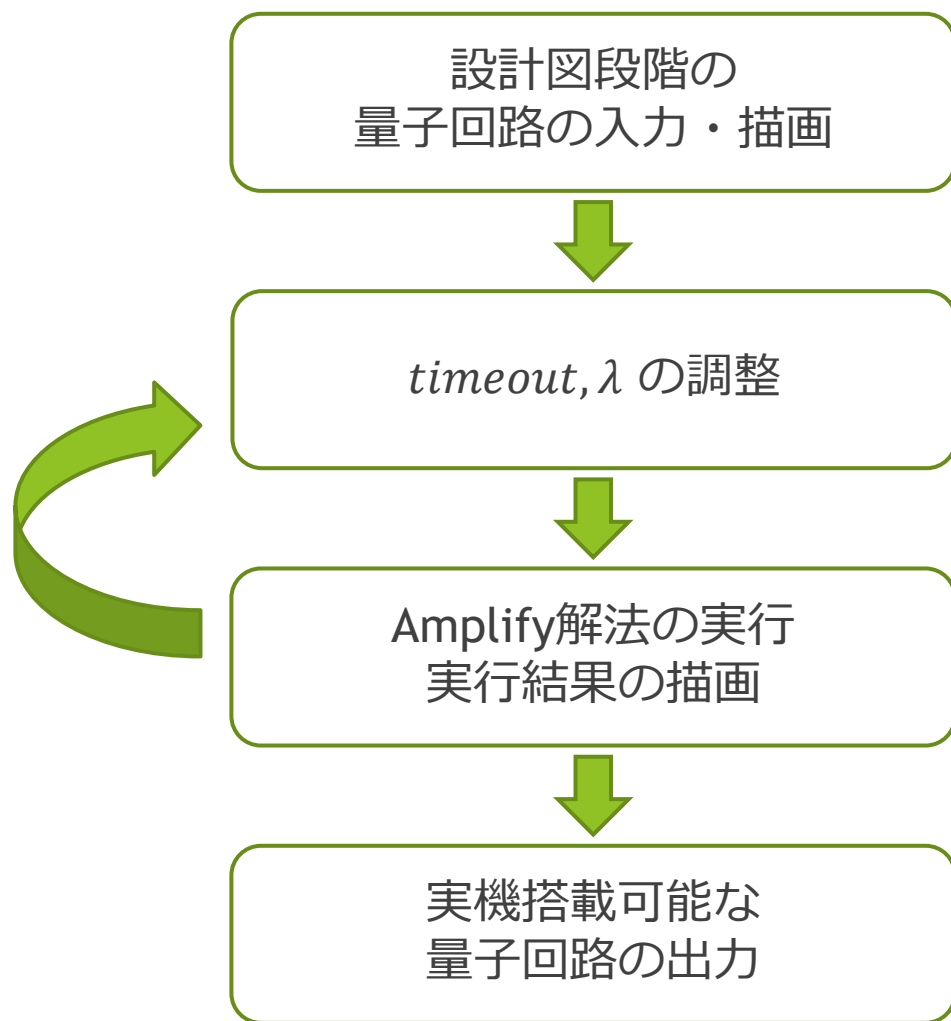
図：SWAPゲートの展開.

- ▶ CXゲートの個数が最も少なくなるように置き換えを実行
 - ▶ 上下反転を考えると，置き換えは2通りある
 - ▶ CXゲートが相殺する場合がある



図：CXゲートの個数が減るケース.

アプリケーションの作成 まとめ



- ▶ 一連の作業がアプリ内で完結
- ▶ Amplify解法による最適化
- ▶ 外部ソフトウェアとの互換性

発表は以上です。
ありがとうございました。